

041

ИОРНУ

АКАДЕМИЯ НАУК СССР  
ОРДЕНА ЛЕНИНА ИНСТИТУТ ОБЩЕЙ И НЕОРГАНИЧЕСКОЙ ХИМИИ  
ИМ. Н.С. КУРНАКОВА

---

На правах рукописи

ЛИНДЕ СЕРГЕЙ АНАТОЛЬЕВИЧ

КРИСТАЛЛОХИМИЧЕСКОЕ ИССЛЕДОВАНИЕ ФОСФАТОВ НЕКОТОРЫХ  
ПЕРЕХОДНЫХ МЕТАЛЛОВ IV-VI ГРУПП  
(02.00.01 - неорганическая химия)

А в т о р е ф е р а т  
диссертации на соискание ученой степени  
кандидата химических наук

Москва - 1979

Работа выполнена в Ордена Ленина Институте общей и неорганической химии им. Н.С. Курнакова АН СССР.

Научные руководители: доктор химических наук, профессор  
В.Г. Кузнецов,  
кандидат химических наук Ю.Е. Горбунова

Официальные оппоненты: доктор химических наук, профессор  
Л.А. Асланов,  
доктор химических наук Б.Ф. Джуринский

Ведущее предприятие – Институт неорганической химии СО АН СССР

Защита диссертации состоится 13 июня 1979 г. в 10<sup>00</sup>  
час. на заседании Специализированного Совета К 002.37.01 в Ин-  
ституте общей и неорганической химии им. Н.С. Курнакова АН  
СССР по адресу: г. Москва, Ленинский проспект, д. 31.

С диссертацией можно ознакомиться в библиотеке химической  
литературы АН СССР.

Автореферат разослан 11 мая 1979 г.

Ученый секретарь Совета  
кандидат химических наук И.Ф. Аленчикова И.Ф. Аленчикова

Актуальность работы. Интенсивное развитие исследований фосфатов связано с поисками новых материалов на их основе — оптических стекол, ионообменников, люминофоров и т.д. В этой связи изучение атомного строения подобных соединений представляется актуальным, поскольку структурные данные являются объективной основой для интерпретации и прогнозирования химических и физических свойств соединений.

Применение метода рентгеноструктурного анализа в отличие от других (например, хроматография, ИК-спектроскопия) дает не только надежную информацию о строении соединений и характере связей в структуре, но и позволяет в отдельных случаях уточнить химическую формулу.

Фосфаты переходных металлов IV-VI групп являются малоизученным классом соединений, а сведения об их строении весьма ограничены.

Цель работы. Целью настоящей работы являлось рентгеноструктурное исследование фосфатов некоторых переходных металлов и рассмотрение особенностей их строения с тем, чтобы проанализировать роль переходного металла в формировании кристаллических построек фосфатов.

Научная новизна. Данная работа включает результаты дифрактометрического исследования 12 впервые синтезированных, либо ранее структурно не изученных фосфатов переходных металлов IV, V и VI групп и является частью систематического структурно-химического исследования, проводимого в ИОНХ АН СССР.

Кристаллы для структурного анализа синтезированы в лаборатории академика И.В. Тананаева ст. научн. сотр. А.В. Лавровым. Исследование структуры  $(VO)_2P_2O_7$ , синтезированного доктором Г. Ладвигом, выполнено по плану совместных работ ИОНХ АН СССР и ЦИНХ АН ГДР в рамках многостороннего сотрудничества Академий наук социалистических стран.

Практическая ценность. Полученные результаты представляют несомненный интерес для углубления фундаментальных знаний о строении фосфатных соединений, а также в значительной мере восполняют пробел в кристаллохимии фосфатов.

Установление строения продуктов взаимодействия окислов или солей летучих кислот металлов с фосфатными расплавами имеет



важное практическое значение для выяснения механизма соответствующих реакций, лежащих в основе большинства методов синтеза фосфатов.

Апробация работы. Результаты доложены на IV Всесоюзной конференции по физико-химическому исследованию фосфатов (Минск, 1976), I Всесоюзном совещании по неорганической кристаллохимии (Москва, Звенигород, 1977), Республиканской конференции по химии и технологии редких, цветных металлов и солей (Фрунзе, 1977); некоторые результаты работы экспонировались на международной выставке "Химия-77" (Москва, 1977).

По теме диссертации опубликовано 7 статей.

Объем работы. Диссертация состоит из введения, трех глав и выводов. Работа содержит 61 страниц основного текста, 50 таблиц, 39 рисунков, выводы из 7 пунктов и список литературы из 98 работ советских и зарубежных авторов.

Глава I. Литературный обзор. В главе рассмотрены и систематизированы результаты исследований кристаллических структур фосфатов переходных элементов IV, V и VI групп, сведения о которых содержатся в литературе вплоть до середины 1978 года.

Глава II. Рентгеноструктурное исследование фосфатов  $Zr, V, Nb$  и  $U$ . I. Экспериментально-методическая часть. В таблице I приведены кристаллографические данные и характеристики эксперимента для 12 исследованных соединений.

Трехмерный набор интенсивностей для всех исследованных соединений получен на автоматических дифрактометрах (*Hilger-Watts, Syntex P2<sub>1</sub>*). Интенсивности отражений измерялись методом  $\omega$ - или  $\psi/2\psi$ -сканирования на монохроматизированном молибденовом излучении.

Структуры соединений (2), (4), (6) - (12) расшифрованы методом тяжелого атома, для структур соединений (1) и (3) с большим количеством независимых атомов (таблица I) и ярко выраженной псевдосимметрией применен метод "ромбов" (Кузьмин Э.А., Головачев В.П., Белов Н.В., Докл. АН СССР, 1970, т.190, с. 92), а структура соединения (5) решена в комбинации прямого метода с анализом функции Патерсона. Структуры уточнены методом наименьших квадратов в изотропном (И) или анизотропном (А) приближении. Поглощение учтено по экспериментальным кривым пропускания.

Для соединений (2), (7)-(12) введена поправка на аномальную дисперсию атомов урана, а для соединения (10) - атомов  $Cs$ .

Для соединения (4) локализация атомов водорода проведена из разностных Фурье-синтезов, а для соединений (7) и (11) - по кристаллохимическим соображениям.

2. Кристаллическая структура  $Zr(PO_3)_4 \cdot \bar{I}$ . Основной особенностью структуры  $Zr(PO_3)_4 \cdot \bar{I}$  является необычное взаимное расположение полифосфатных цепочек в виде "двойной" спирали (рис. 1).

Цепочки сшиваются катионами  $Zr^{4+}$  в трехмерный каркас, причем все концевые атомы  $O$  в полифосфатных цепочках входят в координацию металла.

Каждый атом  $Zr$  координирован с 8 атомами  $O$  от четырех полифосфатных цепочек ( $4+2+1+1$ ) в виде искаженной архимедовой антипризмы. Несмотря на значительный разброс расстояний  $Zr-O$ ,  $2,01(2) - 2,41(2) \text{ \AA}$ , средние значения длин связей  $Zr-O$   $2,19 \text{ \AA}$  совпадают в 4 независимых полиэдрах (в пределах погрешности).

Элементом повторяемости в трех независимых типах полифосфатных цепочек являются 8  $P$ -тетраэдров. В одной цепочке все тетраэдры независимые, в двух других - связаны попарно плоскостью "n". Наблюдается значительный разброс длин связей  $P-O$  конц.  $1,39(3) - 1,56(3) \text{ \AA}$  и  $P-O$  мост.  $1,50(3) - 1,66(3) \text{ \AA}$ , что связано, по-видимому, с неучетом поглощения и ярковыраженной псевдопериодичностью  $a' = a/2$  и  $b' = b/2$ .

3. Кристаллическая структура  $U(PO_3)_4 \cdot \bar{I}$ . Согласно рентгенографическим данным  $U(PO_3)_4 \cdot \bar{I}$  обладает сходным строением с  $Zr(PO_3)_4 \cdot \bar{I}$ . Однако, приведенные в литературе (Masser, Grenier, *J. Bull. Soc. fr. Mineral. Cristallogr.*, 1972, v.95, p.136) данные о параметрах решетки, имеющие противоречивый характер, предопределили интерес к исследованию этой структуры.

Поскольку зафиксировать рефлексы, отвечающие ячейке, близкой к таковой для  $Zr(PO_3)_4 \cdot \bar{I}$  не удалось, то расшифровка структуры и определение мотива проведены в рамках "сокращенной" ячейки и пр. гр.  $Pbcn$  (таблица I).

Для части атомов  $O$  на заключительных разностных синтезах Фурье наблюдались раздвоенные максимумы. Указанное противоречие снимается удвоением периодов  $a$  и  $b$  ромбической

Таблица I. Кристаллографические параметры и харак

№	соединение	Пр. гр.	Параметры решетки		
			a, Å	b, Å	c, Å
I.	$Zr(PO_3)_4 \cdot \bar{I}$	Cc	13,495(I)	28,799(2)	8,658(I)
2.	$U(PO_3)_4 \cdot \bar{I}$	$Pbcn$	6,907(I)	14,947(2)	8,986(I)
3.	$Zr(PO_3)_4 \cdot \bar{II}$	$Pca2_1$	20,504(4)	9,758(2)	8,490(I)
4.	$VO(H_2PO_4)_2$	$P4/ncc$	8,953(2)	8,953(2)	7,965(2)
5.	$(VO)_2 P_2 O_7$	$Pca2_1$	7,725(3)	16,576(4)	9,573(3)
6.	$KNbOP_2 O_7$	$P2_1/n$	5,171(I)	11,843(3)	11,727(3)
7.	$UO_2 H(PO_3)_3$	$P2_1/b$	9,811(I)	20,814(3)	8,6947(4)
8.	$(UO_2)_2 P_5 O_{17}$	Cc	8,653(I)	11,092(4)	17,453(4)
9.	$NaUO_2(PO_3)_3$	$P2_1/c$	7,070(2)	13,481(5)	9,660(3)
10.	$C_5 UO_2(PO_3)_3$	$P2_1/n$	6,989(2)	10,838(4)	13,309(3)
11.	$Na_{0.5-x}(UO_2)_3(H_x PO_4)(PO_4)_3$ $x \sim 0.5$	P1	6,675(2)	6,922(2)	10,732(2)
12.	$K_4 UO_2(PO_4)_2$	$P4_2/nmc$	6,895(3)	6,895(3)	11,865(5)

H - Hilger - Watts ; n - число независимых неводородных ато  
 S - Syntex P2<sub>1</sub> ; N - число независимых ненулевых страже

ячейки (таблица I). Упорядоченное расположение всех атомов возможно в рамках такой "расширенной" ячейки и моноклинной группы симметрии Cc (C2/c).

Полифосфат урана  $U(PO_3)_4 \cdot \bar{I}$  можно отнести к структурному типу  $Zr(PO_3)_4 \cdot \bar{I}$ . Основу структуры составляют полифосфатные цепочки, свитые в "двойные" спирали и свитые U -восьмивершинниками (искаженные архимедовы антипризмы) в трехмерный каркас.

В рамках группы  $Pbcn$  U -полиэдр искажен незначительно по сравнению с Zr -полиэдрами в структуре  $Zr(PO_3)_4 \cdot \bar{I}$  : длины связи U-O 2,289(5)-2,421(II) Å незначительно отклоняются от

теристики эксперимента исследованных соединений.

Углы, град.	$Z$	Эксперимент						
		Прибор	Метод сканир. $\nu_{max}$	$n$	$N$	Экспозиция	МНК	$R, \%$
$\beta$ 90,04(2)	16	H	$\omega$ ; 32	68	4630	-	И	8,0
90	4	S	$\nu$ ; 30	12	1133	+	A	2,9
90	8	S	$\nu$ ; 25	34	2222	+	И-A	6,1
90	4	S	$\nu$ ; 37,5	5	676	+	A	2,4
90	8	S	$\nu$ ; 32,5	26	1546	+	И-A	8,1
$\beta$ 90,98(2)	4	S	$\nu$ ; 30	12	924	+	A	4,2
$\gamma$ 94,09(1)	8	H	$\omega$ ; 25	30	2370	-	И	8,3
$\beta$ 106,12(2)	4	S	$\nu$ ; 30	29	1976	-	И-A	8,9
$\beta$ 105,48(2)	4	S	$\nu$ ; 30	16	2266	+	A	4,3
$\beta$ 104,25(2)	4	S	$\nu$ ; 30	16	3350	+	A	3,6
$\alpha$ 83,96(2)	1	S	$\nu$ ; 31,5	35	2931	+	A	2,0
$\beta$ 82,29(2)								
$\gamma$ 89,44(2)								
90	2	S	$\nu$ ; 32,5	6	417	+	A	6,3

мов;  $\nu$  -  $\nu/2\nu$  -сканирование.

ний;  $\omega$  -  $\omega$  -сканирование.

среднего значения  $2,35_6 \text{ \AA}$ .

В полифосфатной цепочке длины связей  $P-O$ , как обычно, дифференцированы на более длинные  $P-O_{\text{мост.}}$  I,556(12)-I,604(5)  $\text{\AA}$  и более короткие  $P-O_{\text{конц.}}$  I,429(11)-I,541(10)  $\text{\AA}$ .

4. Кристаллическая структура  $Zn(PO_3)_4 \cdot II$ . Рентгеноструктурное исследование  $Zn(PO_3)_4 \cdot II$  показало, что и в этом случае реализуется трехмерный каркас из полифосфатных цепочек, сшитых  $Zn$ -антипризмами (рис. 2). Однако при сохранении звена повторяемости полифосфатной цепочки в 8  $P$ -тетраэдров, полифосфатный анион имеет форму "обычной" спирали с осью вдоль  $[001]$ , а

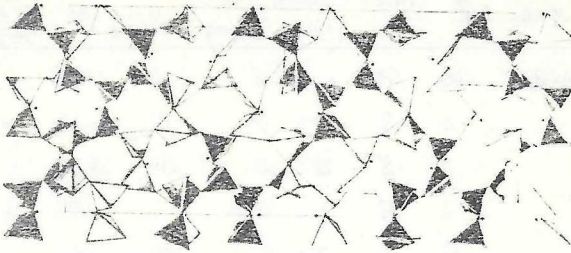


Рис. 1. Проекция структуры  $Zr(PO_3)_4 - I$  на плоскость (001). ● - Zr.

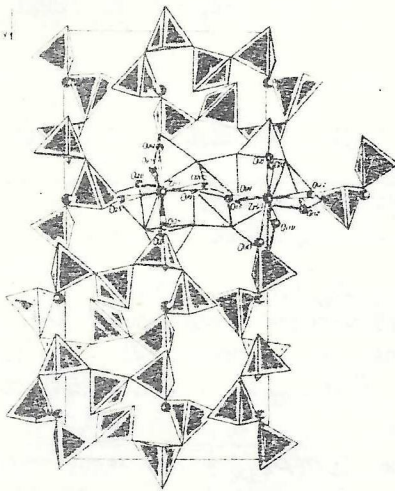


Рис. 2. Проекция структуры  $Zr(PO_3)_4 - II$  на плоскость (001).

расположение цепочек определяется трансляционными операциями симметрии (плоскости скольжения "а" и "с").

Атомы  $Zr$  координированы с 8 атомами  $O$  от 4 полифосфатных цепочек (5+1+1+1). Средние значения длин связей в антипризмах  $Zr(1)-O$  2,19<sub>6</sub> Å и  $Zr(2)-O$  2,19<sub>2</sub> Å практически совпадают с наблюдаемыми в структуре  $Zr(PO_3)_4 \cdot \bar{1}$ , однако разброс расстояний составляет для  $Zr(1)$  - полиэдра 2,107(15)-2,304(15) Å (три расстояния короче, а два - длинее среднего) и для  $Zr(2)$  - полиэдра 2,074(15)-2,357(15) Å (два более коротких при одном существенно удлиненном).

Расстояния  $P-O$  в полифосфатной цепочке дифференцированы на более длинные  $P-O_{\text{мост.}}$  1,549(16)-1,627(16) Å и более короткие  $P-O_{\text{конц.}}$  1,405(15)-1,515(15) Å.

5. Кристаллическая структура  $VO(H_2PO_4)_2$ . Фосфаты  $V(IV)$  резко отличаются как в химическом, так и в кристаллохимическом аспектах от изотипных по составу соединений других четырехвалентных металлов вследствие образования оксогруппы  $VO^{2+}$ . Кристаллы  $VO(H_2PO_4)_2$  построены из бесконечных цепочек искаженных  $V$ -октаэдров, связанных вершинами, которые вытянуты вдоль оси четвертого порядка и объединяются тетраэдрами  $[H_2PO_4]$  в трехмерный каркас (рис. 3).

В структуре можно выделить гофрированные ванадил-фосфатные слои, перпендикулярные оси "с", связанные между собой относительно слабыми взаимодействиями  $V-O$  2,382(2) Å и системой нелинейных, довольно слабых водородных связей  $O \dots O$  2,820(2) Å,  $O-H$  0,89 Å,  $H \dots O$  1,99 Å, угол  $O-H-O$  155,2°.

Самая короткая связь  $V-O$  1,600(2) Å в  $V$ -октаэдрах отвечает группе  $VO^{2+}$ , в транс-положении к ней находится наиболее длинная связь  $V-O$  2,382(2) Å, а связи  $V-O$  в экваториальной плоскости имеют промежуточные значения 1,978(1) Å x 4.

Длины связей  $P-O$  в  $P$ -тетраэдрах дифференцированы на более короткие  $P-O(V)$  1,500(1) Å x 2 и более длинные  $P-O(H)$  1,570(1) Å x 2. Атомы  $O$  кислых фосфатных групп  $P-OH$  играют одновременно роль доноров и акцепторов в  $H$ -связях ( $O \dots O$  2,820(2) Å x 2).

Отсутствие ионообменных свойств у  $VO(H_2PO_4)_2$  по сравне-

нию с изотипным по составу соединением  $Zr(HPO_4)_2 \cdot H_2O$  (Группа  $ZM$ , Clearfield A. *Inorg. Chem.*, 1977, v.16, p.3311), несмотря на присутствие в структуре пустых каналов вдоль 4-осей и слабых  $H$ -связей, можно объяснить, по-видимому, лишь стерическими затруднениями.

6. Кристаллическая структура  $(VO)_2 P_2 O_7$ . Цепочки искаженных  $V$ -октаэдров выделяются и в структуре  $(VO)_2 P_2 O_7$ , однако в этой структуре такие цепочки димеризованы через двойные кислородные мостики (общие ребра  $V$ -октаэдров). Трехмерный каркас выполняется за счет связи таких цепочек пирофосфатными группами через общие вершины (концевые атомы  $O$  групп  $P_2 O_7^{4-}$ ), причем каждый  $P$ -тетраэдр связан с тремя двоянными цепочками  $V$ -октаэдров (рис. 4).

В структуре  $(VO)_2 P_2 O_7$  можно также выделить гофрированные ванадил-фосфатные слои, перпендикулярные оси "а", связанные мостиками  $P-O-P$  и относительно слабым взаимодействием  $V-O$  (2,17(2)-2,37(2) Å).

Особенностью структуры является значительно большее искажение  $V$ -октаэдров, чем в структуре  $VO(H_2PO_4)_2$ :  $V-O$  1,53(1)-1,73(2) Å,  $V-O$  транс. 2,17(2)-2,37(2) Å,  $V-O$  экв. 1,92(2)-2,09(2) Å. Наблюдается также заметное искажение нелинейных (угол  $P-O-P$  160(1)°, 145(1)°) пирофосфатных групп: длины связей  $P-O$  конц. с атомами  $O$ , являющимися мостиками между двумя группами  $VO_2^{2+}$ , значительно длинее (1,56(2)-1,57(2) Å) остальных  $P-O$  конц. (1,48(2)-1,52(2) Å) и сравнимы по длине с  $P-O$  мост. (1,56(2)-1,58(2) Å).

7. Кристаллическая структура  $KNbOP_2 O_7$ . Впервые для переходных металлов  $U$  группы проведено исследование структуры смешанного фосфата со щелочными металлами. Основу структуры  $KNbOP_2 O_7$  составляют катионы  $NbO^{3+}$  и пирофосфатные анионы, объединенные в гофрированные ниобил-фосфатные слои, связанные катионами  $K^+$  ( $K-O$ , 2,608(7)-3,194(8) Å) и слабым взаимодействием  $Nb...O$  (2,247(6) Å) (рис. 5). В искаженных  $Nb$ -октаэдрах наиболее короткая связь  $Nb-O$  1,708(6) Å отвечает группе  $NbO^{3+}$ , в транс-положении лежит наиболее длинная связь  $Nb...O$  2,247(6) Å, отвечающая межслоевому взаимодействию, а связи  $Nb-O$  экв. имеют промежуточное значение 2,008(7)-2,021(7) Å (ср. 2,014 Å)

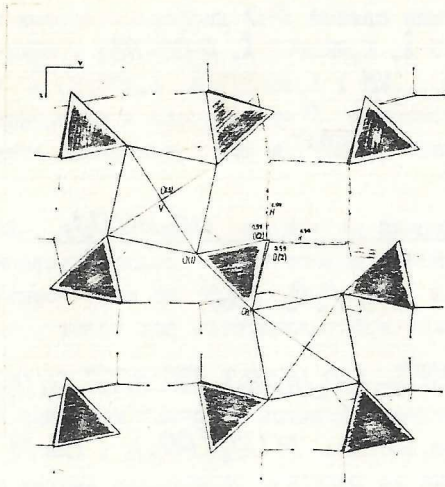


Рис. 3. Проекция структуры  $VO(H_2PO_4)_2$  на плоскость  $(001)$ .

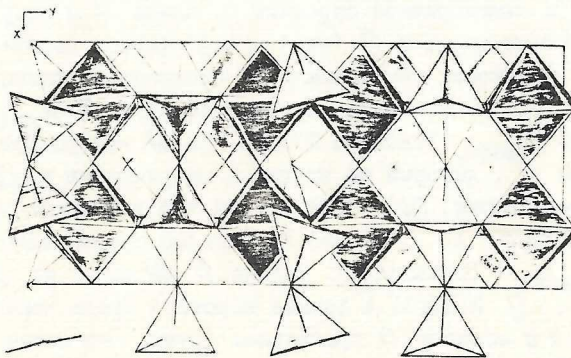
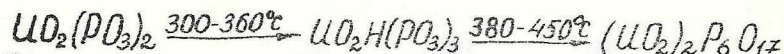


Рис. 4. Проекция структуры  $(VO)_2P_2O_7$  на плоскость  $(001)$ .

(все концевые атомы  $O$  входят в координацию  $NB$ , за исключением одного, дополняющего координацию  $K$ ).

Нелинейный пирофосфатный анион (угол  $P-O-P$   $131,7(5)^\circ$ ) заметно искажен. Длины связей  $P-O$  дифференцированы на 3 группы:  $P-O_{\text{мост.}}$   $1,599(7)$  Å,  $1,623(7)$  Å,  $P-O(-NB)$   $1,511(7)$ – $1,530(7)$  Å и  $P-O_{\text{своб.}}$  ( $P-O \dots NB$ )  $1,468(7)$  Å,  $1,475(7)$  Å, что объясняется характером сочленения  $P$ -тетраэдров и различной силой взаимодействия катионов  $NB^{3+}$  и  $K^+$  с концевыми атомами  $O$  пирофосфатной группы.

8. Кристаллическая структура  $UO_2H(PO_3)_3$ . Впервые изучено строение соединений нового типа – конденсированных фосфатов уранила. В системе  $UO_3-P_2O_5-(H_2O)$  по мере повышения температуры последовательно кристаллизуется ряд новых соединений



При введении в систему нитратов щелочных металлов выделен ряд смешанных фосфатов состава  $MUO_2(PO_3)_3$ , где  $M$  –  $Na$ ,  $K$ ,  $Rb$ ,  $Cs$ , которые по рентгенографическим данным неизоструктурны.

Структура  $UO_2H(PO_3)_3$  построена из групп  $UO_2^{2+}$  и полифосфатных цепочек  $(PO_3)_\infty$  с осью вдоль  $[100]$ . В структуре можно выделить гофрированные уранил-фосфатные слои, перпендикулярные  $[100]$ , связанные между собой полифосфатными цепочками (мостики  $P-O-P$ ) (рис. 6). Группы  $UO_2^{2+}$  имеют практически линейное и симметричное строение (таблица 2) и координированы с 5 концевыми атомами  $O$  (от 4 полифосфатных цепочек) в экваториальной плоскости пентагональной бипирамиды. Длины связей  $P-O$  в анионе дифференцированы на более короткие  $P-O_{\text{конц.}}$  и более длинные  $P-O_{\text{мост.}}$  (таблица 2). На три  $P$ -тетраэдра приходится один атом  $O$ , который не входит в координацию с  $UO_2^{2+}$  и является, по-видимому,  $OH$ -группой, на что указывают расстояния  $P-O_{\text{своб.}}$   $1,575(25)$  Å,  $1,525(25)$  Å, заметно превышающие значения для  $P-O_{\text{конц.}}$  (таблица 2). Группы  $P-OH$  имеют по одному контакту  $O \dots O$   $2,63(3)$  Å (самые короткие среды контактов  $O \dots O$ ) с атомами  $O$  уранильных групп, что можно объяснить образованием  $H$ -связей.

9. Кристаллическая структура  $(UO_2)_2P_6O_{17}$ . Структура

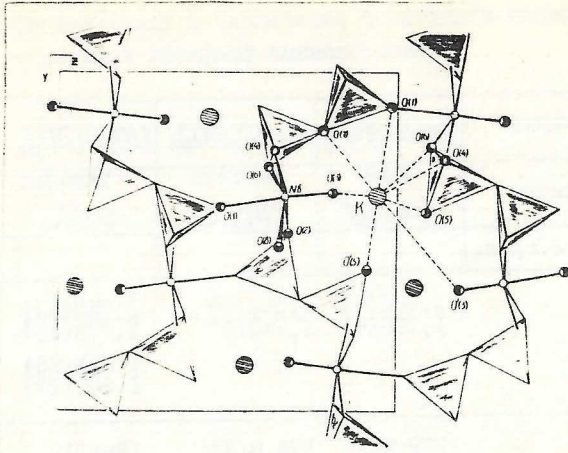


Рис. 5. Проекция структуры  $KNbOP_2O_7$  на плоскость (100).

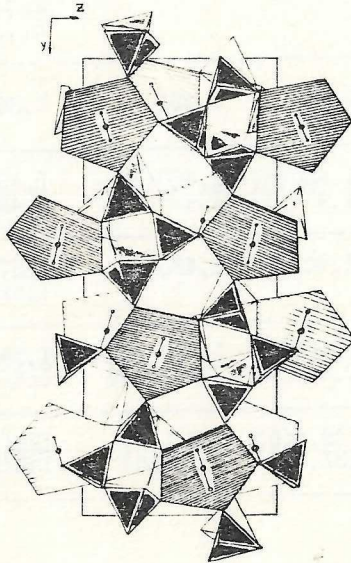


Рис. 6. Проекция структуры  $UO_2H(PO_3)_3$  на плоскость (100).

Таблица 2

Основные межатомные расстояния и валентные углы в кон-  
денсированных фосфатах уранила

Соединение	$CsUO_2(PO_3)_3$	$NaUO_2(PO_3)_3$	$UO_2H(PO_3)_3$	$(UO_2)_2P_6O_{17}$
Тип аниона	цикл $(P_6O_{18})^{6-}$	цепочка $(PO_3)_{\infty}^-$	цепочка $(PO_3)_{\infty}^-$	трехмерный анион $(P_6O_{17})_{3\infty}^{4-}$
R, Å, угол, град.				
U-O	I,781(5) I,765(6)	I,800(9) I,747(9)	I,722(23) I,773(23)	I,71(6) I,77(6)
$(UO_2^{2+})$			I,826(23) I,803(23)	I,70(6) I,71(6)
O-U-O	I79,2(3)	I76,6(4)	I78(1) I79(1)	I76(3) I75(4)
U-O <sub>экв.</sub>	2,298(8)- 2,401(7)	2,323(9)- 2,455(9)	2,328(23)- 2,408(23)	2,03(6)- 2,49(6)
			2,331(23)- 2,395(23)	2,27(6)- 2,51(6)
$(U-O_{экв.})_{ср.}$	2,362	2,380	2,36±2	2,33; 2,37
P-O <sub>конц.</sub>	I,458(6)- I,478(8)	I,480(10)- I,498(10)	I,435(25)- I,499(25)	I,36(7)- I,72(7)
P-O <sub>своб.</sub>	I,469(7)	I,483(9)	I,575(25) I,525(25)	-
P-O <sub>мост.</sub>	I,564(9)- I,609(6)	I,583(10)- I,614(10)	I,549(25)- I,613(25)	I,38(7)- I,70(7)
УГЛЫ P-O-P	I29,4(5)- I31,7(4)	I29,1(6)- I36,8(6)	I29(2)- I42(2)	-

ультрафосфата уранила  $(UO_2)_2P_6O_{17}$ , стоящего последним в ряду конденсированных фосфатов уранила, определена с использованием двойникового сростка. Из 2656 измеренных отражений ( $I > I, 96 \sigma'$ ) исключены рефлексны, для которых наблюдается наложение дифракционных максимумов от различных блоков, так что число отражений, использованных для расшифровки и уточнения структуры, составило 1963 (таблица 1).

Основной особенностью структуры является образование в кристаллах  $(UO_2)_2P_6O_{17}$  трехмерного бесконечного ультрафосфатного аниона, возникающего в результате сопряжения в трех измерениях гофрированных 24-членных циклов из 14 "мета" и 10 "ультра"  $P$ -тетраэдров (рис. 7,8).

В структуре также можно выделить гофрированные уранилфосфатные слои, аналогичные обнаруженным в  $UO_2H(PO_3)_3$ . На период "с" приходится 4 таких слоя, связанных в трехмерный каркас мостиками  $P-O-P$ .

Катионы  $UO_2^{2+}$  координированы с 5 атомами  $O$  в экваториальной плоскости пентагональной бипирамиды так, что все концевые атомы  $O$  от ультрафосфатного аниона входят в координацию с  $UO_2^{2+}$ . Удаётся проследить обычный характер связей  $U-O$  в  $U$ -полиэдрах, тогда как для связей  $P-O$  наблюдается значительный разброс (таблица 2).

10. Кристаллическая структура  $NaUO_2(PO_3)_3$ . Структура  $NaUO_2(PO_3)_3$  построена из групп  $UO_2^{2+}$ , катионов  $Na^+$  и полифосфатных цепочек, с осью вдоль  $[001]$ . В структуре можно выделить гофрированные уранил-фосфатные слои (рис. 9), связанные полифосфатными цепочками (мостики  $P-O-P$ ) в трехмерный каркас. Катионы  $Na^+$  размещаются в межслоевых пустотах. Уранильная группа, имеющая нелинейное и несимметричное строение (таблица 2), координирована в экваториальной плоскости пентагональной бипирамиды с 5 атомами  $O$  от трех полифосфатных цепочек. Длины связей  $P-O$  в анионе, как обычно, делятся на более длинные  $P-O$  мост. и более короткие  $P-O$  конц. (таблица 2). Все концевые атомы  $O$  входят в координацию с уранилом за исключением одного на каждые 3  $P$ -тетраэдра, дополняющего координацию  $Na$ .

Катионы  $Na^+$  связаны с 7 атомами  $O$  от трех полифосфатных цепочек и двух уранильных групп ( $Na-O$  2,272(11)-3,164(12) Å).

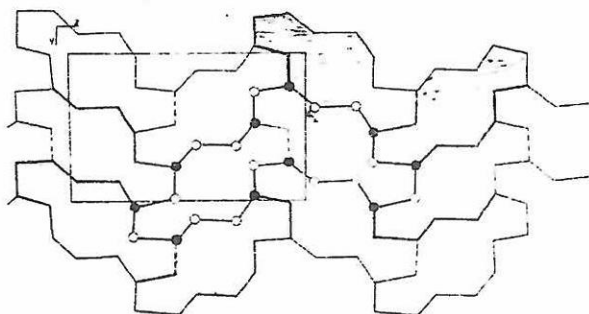


Рис. 7. Структура  $(UO_2)_2P_6O_{17}$ . Проекция анлона  $(P_6O_{17})_3^{4-}$  на плоскость (100). ● - р "ультра"; ○ - р "мета".

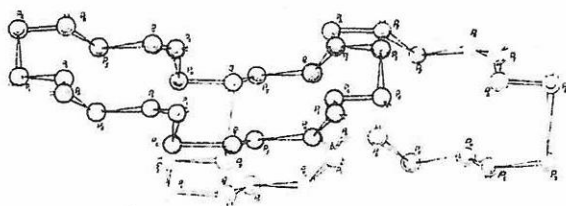


Рис. 8. Структура  $(UO_2)_2P_6O_{17}$ . Аксонометрическая проекция сопряжения двух циклов в направлении [100].

II. Кристаллическая структура  $CsUO_2(PO_3)_3$ . Переход от  $Na$  к более крупному  $Cs$  приводит к реализации в структуре  $CsUO_2(PO_3)_3$  циклического аниона  $(P_6O_{18})^{6-}$ , который наряду с катионами  $UO_2^{2+}$  и  $Cs^+$  составляет основу структуры (рис. 10).

В структуре выделяются также гофрированные уранил-фосфатные слои, аналогичные обнаруженным в  $UO_2H(PO_3)_3$ , которые связаны в трехмерный каркас мостиками  $P-O-P$ . Катионы  $Cs^+$  заполняют межслоевые пустоты.

В отличие от структуры  $NaUO_2(PO_3)_3$  уранильная группа имеет практически симметричное и линейное строение (таблица 2) и координирована с 5 атомами  $O$  (от четырех циклов  $(P_6O_{18})^{6-}$ ) в экваториальной плоскости пентагональной бипирамиды (таблица 2).

В циклическом анионе  $(P_6O_{18})^{6-}$  длины связей  $P-O$  делятся на  $P-O$  мост., которые, как обычно, больше, чем  $P-O$  конц. (таблица 2). Все концевые атомы  $O$  связаны с  $UO_2^{2+}$ , за исключением одного на каждые 3  $P$ -тетраэдра, дополняющего координацию  $Cs^+$ . Катион  $Cs^+$  связан с 9 атомами  $O$  от трех групп  $UO_2^{2+}$  и двух циклов  $(P_6O_{18})^{6-}$  ( $Cs-O$  3,052(7)-3,601(8) Å).

12. Кристаллическая структура  $Na_6 \times (UO_2)_3(H_xPO_4)(PO_4)_3, x \sim 0,5$ . В отличие от системы  $UO_3-P_2O_5-(H_2O)$  (расплав полифосфорных кислот), где уранильная группа термически не стабильна выше  $450^\circ C$ , высокая термическая стабильность уранила (выше  $1000^\circ C$ ) наблюдается в расплавах щелочных гидрофосфатов. Строение кристаллов соединения, формула которого установлена в процессе расщипровки, имеет ряд необычных особенностей. Основной из них является различная координация атомов урана как в форме пентагональной, так и тетрагональной бипирамид.

Пентагональные  $U$ -бипирамиды совместно с  $P$ -тетраэдрами формируют уранил-фосфатные слои состава  $[UO_2(PO_4)_2]_{2\infty}^{4-}$  (рис. II), объединенные тетрагональными  $U$ -бипирамидами в двухслойные уранил-фосфатные пакеты состава  $\{UO_2[UO_2(PO_4)_2]_2\}_{2\infty}^{6-}$ . Катионы  $Na^+$  связывают пакеты в структуре и заполняют пустоты как в слоях, так и внутри двухслойных пакетов.

Пентакоординированные группы  $UO_2^{2+}$  имеют симметричное и нелинейное строение, тогда как тетракоординированная группа  $UO_2^{2+}$

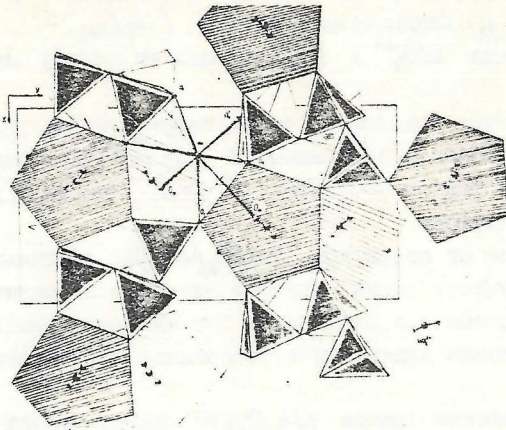


Рис. 9. Проекция структуры  $NaUO_2(PO_3)_3$  на плоскость (001).

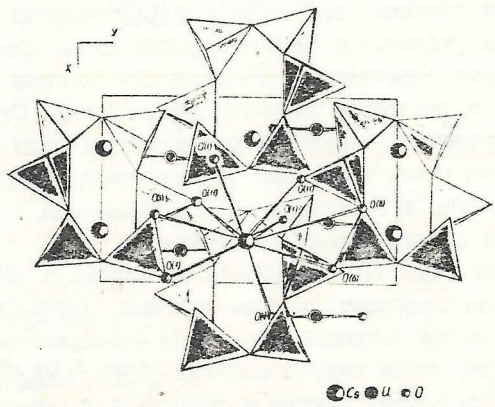


Рис. 10. Проекция структуры  $CsUO_2(PO_3)_3$  на плоскость (001).

- асимметрична и нелинейна (таблица 3). Каждая группа  $UO_2^{2+}$  контактирует с четырьмя тетраэдрами  $PO_4^{3-}$ , которые можно разделить на две группы. В первой -  $P$ -тетраэдры являются мостиками между двумя  $U$ -семивершинниками и  $U$ -полиэдром, имеющим форму тетрагональной бипирамиды, а по одной вершине остается свободной. Во второй - по два атома  $O$  принадлежат одному  $U$ -семивершиннику, образуя общее ребро, а два других атома входят в  $U$ -полиэдр различной конфигурации. Тетраэдры  $PO_4^{3-}$  заметно искажены и расстояния  $P-O$  колеблются в интервале  $1,41(2)-1,61(2)$  Å (таблица 3).

Атомы  $Na$  (6 независимых) можно разделить попарно на три группы. Два ( $Na(1)$  и  $Na(2)$ ) заполняют пустоты в уранил-фосфатных слоях, два других ( $Na(5)$  и  $Na(6)$ ) занимают пустоты внутри двухслойных пакетов, а третья пара ( $Na(3)$  и  $Na(4)$ ) составляет начинку "сэндвича" из двухслойных пакетов, скрепляя их в структуре. Для  $Na(1)$ ,  $Na(2)$  и  $Na(5)$  расстояния  $Na-O$  изменяются в более узком интервале по сравнению с тремя другими (таблица 3). Необходимо отметить, что наблюдаемый дефицит катионов  $Na^+$  (позиция  $Na(5)$  заполнена лишь ~наполовину) можно компенсировать образованием групп  $P-OH$ . По кристаллохимическим соображениям атом  $H$  можно разместить около "свободного" атома  $O$ , образующего связь  $P-O$  длиной  $1,61(2)$  Å.

13. Кристаллическая структура  $K_4UO_2(PO_4)_2$ . Замена  $Na$  на  $K$  приводит к различному составу и строению соединений, кристаллизующихся при одинаковой температуре ( $\sim 960^\circ C$ ).

В структуре  $K_4UO_2(PO_4)_2$  уранильная группа, имеющая симметричное и линейное строение ( $U-O$   $1,800(15)$  Å x  $2,0-U-O$   $180^\circ$ ), координирована с 4 атомами  $O$  от четырех тетраэдров (в экваториальной плоскости тетрагональной бипирамиды), в результате образуются уранил-фосфатные слои  $[UO_2(PO_4)_2]_{2\infty}^{4-}$ , скрепленные катионами  $K^+$ , расположенными в межслоевых пустотах (рис. 12).

Тетраэдры  $PO_4^{3-}$  сильно искажены: длины связей  $P-O$  дифференцированы на более короткие  $P-O(-U)$   $1,497(14)$  Å x 2 и более длинные  $P-O$  своб.  $1,599(9)$  Å x 2, дополняющие координацию калия.

Катионы  $K^+$  связаны с тремя атомами  $O$  от одного и с че-

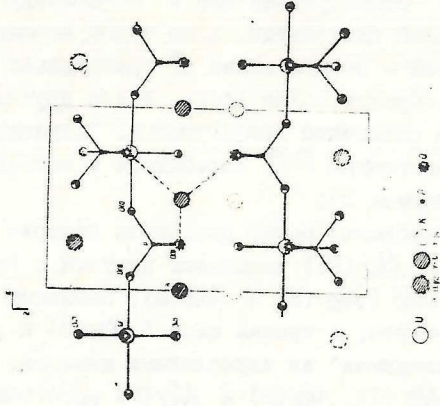


Рис. 12. Проекция структуры  $K_4UO_2(PO_4)_2$  на плоскость (010).

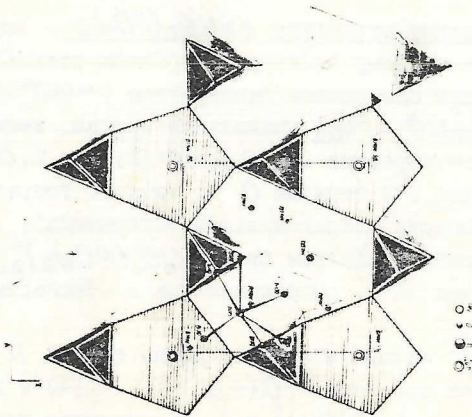


Рис. 11. Проекция структуры  $Na_{6-x}(UO_2)_3(H_xPO_3)(PO_4)_3$ ,  $x \sim 0.5$  на плоскость (001).



Так, показано, что наиболее предпочтительная в фосфатах октаэдрическая координация четырехвалентного металла при переходе от пирофосфата  $ZrP_2O_7$  (Levi G. R., Peyronel G. Z. Kristallogr 1935, v. 92, p. 190) с соотношением  $M:P = 1:2$  к полифосфатам  $M(PO_3)_4$ ,  $M - Zr$ , с соотношением  $M:P = 1:4$  изменяется на восьмерную (искаженная архимедова антипризма). Полиморфизм соединений  $M(PO_3)_4$ ,  $M - Zr, U$ , как показало рентгеноструктурное исследование  $Zr(PO_3)_4 - I, II$  и  $U(PO_3)_4 - I$ , объясняется, по-видимому, отсутствием явного энергетического преимущества в пользу одного из возможных вариантов взаимной ориентации  $M$ -полиэдров и  $P$ -тетраэдров, а также гибкостью связи  $P-O-P$ .

Замена  $Zr$  ( $Zr-O_{cp} 2,19 \text{ \AA}$ ) на более крупный  $U$  ( $U-O_{cp} 2,36 \text{ \AA}$ ) не вызывает заметных изменений в полифосфатных анионах: средние значения длин связей  $P-O$  концы. составляют  $1,49 \text{ \AA}$  для структур  $Zr(PO_3)_4 - I$  и  $U(PO_3)_4 - I$ .

Специфической особенностью фосфатов переходных металлов  $U$  группы является образование оксогруппировок  $MO^{3+}$  и  $MO^{2+}$ . Требования координации оксогруппировок приводят к доминированию слоистых мотивов в фосфатах переходных металлов  $U$  группы. Однако сила взаимодействия между слоистыми фрагментами может существенно различаться, что и определяет в основном характер структуры, как показано на примере исследованных соединений  $VO(H_2PO_4)_2$ ,  $(VO)_2P_2O_7$  и  $KNbO_2P_2O_7$ . Следует также отметить, что искаженная октаэдрическая координация металла обнаружена во всех исследованных фосфатах переходных металлов  $U$  группы вне зависимости от изменения отношения  $M:P$ .

Специфику кристаллохимии конденсированных фосфатов уранила, нового типа соединений, строение которых установлено впервые, определяют наличие групп  $UO_2^{2+}$  и тип фосфатного аниона. В исследованных соединениях  $UO_2H(PO_3)_3$ ,  $(UO_2)_2P_6O_{17}$ ,  $NaUO_2(PO_3)_3$  и  $CSUO_2(PO_3)_3$  установлена пентагонально-бипирамидальная координация  $U(VI)$ , как с линейной и симметричной, так и с нелинейной и асимметричной уранильной группой. В структурах  $UO_2H(PO_3)_3$  и  $NaUO_2(PO_3)_3$  реализуются полифосфатные цепочки, в структуре  $CSUO_2(PO_3)_3$  - гексаметафосфатный цикл  $(P_6O_{18})^{6-}$ , а в структуре  $(UO_2)_2P_6O_{17}$  - новый тип трехмерного ультрафосфатного аниона  $(P_6O_{17})_3^{4-}$  из гофрированных, сопряженных в трех измерениях 24-членных фосфор-кислородных цик-

лов (I4 "мета" и IO "ультра"  $P$ -тетраэдров). Требования координации уранила оказывают заметное влияние на расположение  $P$ -тетраэдров при кристаллизации: во всех конденсированных фосфатах уранила можно выделить слоистые фрагменты, связанные в трехмерный каркас мостиками  $P-O-P$ . В смешанных ортофосфатах уранила со щелочными металлами слоистые фрагменты могут объединяться группами  $UO_2^{2+}$  в двухслойные пакеты ( $Na_{6-x}(UO_2)_3(H_xPO_4)(PO_4)_{13, x-0,5}$ ), либо, как правило, быть связанными только щелочными катионами (например,  $K_4UO_2(PO_4)_2$ ).

Необходимо отметить, что наличие в фосфатном анионе свободных вершин, не связанных с переходным металлом, характерно для слоистых структур протонированных соединений, либо для смешанных фосфатов со щелочными металлами. По-видимому, присутствие таких атомов  $O$  в анионе понижает устойчивость фосфатных кристаллов. С другой стороны, стабилизация низких степеней окисления переходных металлов IV-VI групп наблюдается, как правило, для соединений, кристаллизующихся в структурных типах без свободных вершин в  $P$ -тетраэдрах.

Таким образом, на примере изученных фосфатов переходных металлов можно показать, что природа катиона, определяемая его электронным строением, наряду с температурой, оказывает существенное влияние на кристаллизацию соединений с той или иной степенью конденсации фосфатного аниона.

В присутствии определенного катиона можно варьировать степень конденсации аниона изменением температуры расплава, как это наглядно иллюстрирует пример системы  $UO_3 - P_2O_5 - (H_2O)$ .

## ВЫВОДЫ

I. Впервые установлено строение полифосфатов четырехвалентных металлов  $Zr(PO_3)_4$  -I,  $Zr(PO_3)_4$  -II и  $U(PO_3)_4$  -I. Рассмотрены возможные причины полиморфизма у соединений состава  $M(PO_3)_4$ , где  $M$  -  $Zr, Hf, Ce, U, Th$ . Обнаружена необычная взаимная ориентация полифосфатных цепочек в виде "двойной" спирали в структурах  $Zr(PO_3)_4$  -I и  $U(PO_3)_4$  -I.

2. Впервые установлено строение фосфатов  $V(IV) - VO(H_2PO_4)_2$  и  $(VO)_2P_2O_7$ . Рассмотрены причины отсутствия ионообменных свойств у  $VO(H_2PO_4)_2$ .

3. Определена кристаллическая структура  $KNbOP_2O_7$  - первого представителя для смешанных фосфатов переходных металлов V группы со щелочными металлами.

4. Впервые изучено строение соединений нового типа - конденсированных фосфатов уранила. Установлено, что в  $UO_2H(PO_3)_3$  и  $NaUO_2(PO_3)_3$  реализуется полифосфатная цепочка, в  $CsUO_2(PO_3)_3$  цикл  $(P_6O_{18})^{6-}$ , а в  $(UO_2)_2P_6O_{17}$  - новый тип трехмерного бесконечного ультрафосфатного аниона  $(P_6O_{17})^{4-}$  из 24-членных гофрированных циклов (10 "ультра" и 14 "мета"  $P$ -тетраэдров).

5. Определена структура двух новых смешанных ортофосфатов уранила со щелочными металлами  $Na_{6-x}(UO_2)_3(H_xPO_4)(PO_4)_3 \cdot 0,5xH_2O$  и  $K_4UO_2(PO_4)_2$ .

6. В структуре  $Na_{6-x}(UO_2)_3(H_xPO_4)(PO_4)_3 \cdot 0,5xH_2O$  установлено одновременное присутствие уранильных групп, координированных как с пятью, так и с четырьмя атомами  $O$  в экваториальной плоскости соответствующей бипирамиды.

7. С кристаллохимических позиций рассмотрена роль переходного металла в кристаллических структурах фосфатов. На примере изученных соединений показано влияние природы переходного металла (наряду с температурой) на кристаллизацию соединений с различной степенью конденсации аниона.

По материалам диссертации опубликованы следующие работы:

1. Горбунова Ю.Е., Илюхин В.В., Кузнецов В.Г., Лавров А.В., Линде С.А. Кристаллическая структура полифосфата циркония  $Zr(PO_3)_4$  - I, - Докл. АН СССР, 1976, т. 228, № 6, с. 1329-1331.

2. Горбунова Ю.Е., Илюхин В.В., Кузнецов В.Г., Лавров А.В., Линде С.А. Структура ромбической модификации полифосфата циркония  $Zr(PO_3)_4$  - II, - Докл. АН СССР, 1977, т. 234, № 3, с. 628-631.

3. Линде С.А., Горбунова Ю.Е., Лавров А.В., Кузнецов В.Г. Синтез и структура кристаллов кислого полифосфата уранила  $UO_2H(PO_3)_3$ , - Докл. АН СССР, 1976, т. 230, № 6, с. 1376-1379.

4. Линде С.А., Горбунова Ю.Е., Лавров А.В., Кузнецов В.Г. Синтез и структура кристаллов  $NaUO_2(PO_3)_3$ , - Докл. АН СССР, т. 235, № 2, с. 394-397 (1977).

5. Линде С.А., Горбунова Ю.Е., Лавров А.В., Кузнецов В.Г. Синтез и строение кристаллов  $CsUO_2(PO_3)_3$ , - Докл. АН СССР, 1978, т. 241, № 5, с. 1083-1086.

6. Линде С.А., Горбунова Ю.Е., Лавров А.В., Кузнецов В.Г. Строение кристаллов кислого ортофосфата ванадила  $VO(H_2PO_4)_2$ , - Докл. АН СССР, 1979, т. 244, № 6, с. 1411-1414.

7. Горбунова Ю.Е., Линде С.А. Структура кристаллов пирофосфата ванадила  $(VO)_2P_2O_7$ , - Докл. АН СССР, 1979, т. 245, № 3

Т-08054, подл. в печ. 26/IV-79г.  
Зак. № 364, тир. 150. ОРТИ МИТ